

УДК 536.2; 517.9

## ИССЛЕДОВАНИЕ ВЫНУЖДЕННОЙ КОНВЕКЦИИ В ГАЗОВЫХ ПОТОКАХ В МИКРОТРУБКАХ И МИКРОКАНАЛАХ С ПАРАЛЛЕЛЬНЫМИ СТЕНКАМИ ПРИ НАЛИЧИИ ПОТОКА ТЕПЛА НА НИХ И С УЧЕТОМ ТЕПЛОПРОВОДНОСТИ В ОСЕВОМ НАПРАВЛЕНИИ

Ю. Хаддут, А. Убарра\*, Дж. Лахджомри\*

Университет Ибн Зохра, Уарзат, Марокко

\* Университет Хасана II, Касабланка, Марокко

E-mails: [youssefhaddout@gmail.com](mailto:youssefhaddout@gmail.com), [aoubarra@gmail.com](mailto:aoubarra@gmail.com), [lahjomri@hotmail.com](mailto:lahjomri@hotmail.com)

Построено аналитическое решение задачи о вынужденной конвекции в газовых скользящих ламинарных потоках, текущих в микротрубках и микроканалах с параллельными стенками, при наличии потока тепла на стенках канала и с учетом теплопроводности в осевом направлении канала. Температурное поле и число Нуссельта определены в предположении, что в области нагрева конечной длины течение является гидродинамически развитым. Решение задачи получено с использованием метода функционального анализа и разложения уравнения энергии на два дифференциальных уравнения в частных производных первого порядка. На границе газ — стенка ставятся условия проскальзывания первого порядка. Проведено сравнение полученного аналитического решения с известными численными решениями. Установлено, что температурное поле в области нагрева существенно зависит от теплопроводности в осевом направлении канала, разреженности потока и конечной длины области нагрева.

**Ключевые слова:** вынужденная конвекция, задача Гретца, скользящий поток, конечная область нагрева, теплопроводность в осевом направлении, метод функционального анализа.

DOI: 10.15372/PMTF20200606

**Введение.** Исследованию закономерностей конвективного теплопереноса и течения жидкости в микроканалах уделяется большое внимание, поскольку микроканалы широко используются при создании микроэлектрических и микромеханических систем [1]. В данной работе решается классическая нетривиальная задача о конвекции и диффузии — задача Гретца на микроуровне. Основной целью является исследование влияния конечной длины области нагрева на тепловые характеристики развитого течения газа в микротрубке и микроканале с параллельными стенками. Каналы такой геометрии используются в охлаждающих устройствах в микроэлектронике [2].

Исследование задачи с учетом теплопроводности в осевом направлении представляет интерес в силу неортогональности собственных функций в ней. Как правило, при изучении вынужденной конвекции в случае течения в макроканале теплопроводность в осевом направлении не учитывается. В случае течения со скольжением это явление необходимо

учитывать, поскольку в микроканалах и при малых числах Пекле теплопроводность в осевом направлении играет важную роль. Существует большое количество работ, посвященных исследованию задачи о влиянии проводимости в направлении движения потока на вынужденную конвекцию в ламинарном течении в микротрубке и микроканале с параллельными стенками в отсутствие разрежения (обобщенная задача Гретца) [3]. Ранее при изучении течений в макроканалах с использованием классических методов выявлен ряд проблем: задача определения собственных функций эллиптического уравнения энергии не является самосопряженной, а соответствующие собственные функции и собственные числа не образуют полную систему. Поскольку собственные функции, содержащиеся в рядах, представляющих собой решение задачи, не являются ортогональными, классические методы определения коэффициентов разложений не применимы. В работах [4, 5] эта трудность преодолена путем разложения уравнения энергии на пару дифференциальных уравнений в частных производных первого порядка с использованием метода функционального анализа (теории самосопряженных операторов). Показано, что построенное аналитическое решение является простым с точки зрения вычислений, а метод — эффективным методом решения параболических задач. Этот метод был распространен на решение задач о турбулентном течении [3, 6, 7] и течения Гартмана [8].

В [9] приведен обзор работ, в которых с использованием аналитических и численных методов исследуется конвективный теплоперенос в микроканалах в режиме скользящего течения. Из этого обзора работ следует, что проводимость в направлении движения потока оказывает существенное влияние на распределение тепла во входной части микроканала. В [10] с использованием метода функционального анализа решена задача о вынужденной конвекции в скользящем потоке газа в микроканале при наличии изотермической области нагрева конечной длины и с учетом вязкой диссипации и работы давления. В работе [11] с использованием метода функционального анализа исследовано влияние теплопроводности в развитых тепловом и гидродинамическом потоках в микроканалах при наличии однородного потока тепла на стенках канала. Рассматривалась бесконечная область микроканала ( $-\infty < x < +\infty$ ) с адиабатическими стенками при  $x < 0$  и однородно нагретыми при  $x \geq 0$ .

Насколько известно авторам данной работы, не существует работ, в которых исследован теплоперенос в микроканалах при наличии потока тепла на стенках канала в конечной области. В известных работах рассматривалась полубесконечная область нагрева. Однако в приложениях используется только конечная область нагрева. Длина конечной области является параметром, от которого могут существенно зависеть тепловые характеристики потока.

Целью данной работы является построение аналитического решения задачи о вынужденной конвекции тепла в скользящем потоке газа в микротрубке и микроканале с параллельными стенками при наличии на них потока тепла с учетом теплопроводности в осевом направлении потока и разреженности газа. Уравнение энергии решается с использованием метода, предложенного в [5]. Преимущество этого метода заключается в том, что после разложения уравнения энергии получается самосопряженная задача Штурма — Лиувилля.

**1. Постановка задачи и основные уравнения.** Рассматривается гидродинамически развитый ламинарный поток в длинной круглой микротрубке или микроканале с параллельными плоскими стенками с заданным профилем скорости  $u_x(Y)$ . На рис. 1 показаны геометрия канала и система координат. Переменная  $Y$  и характерная длина  $L$  обозначают соответственно радиальную координату  $r$  и радиус  $R$  в случае течения в микротрубке или поперечную координату  $y$  и половину высоты канала  $h$  в случае течения в плоском канале. Таким образом,  $Y = r$  или  $Y = y$  и  $L = R$  или  $L = h$ . При  $x \leq 0$  и при  $x \geq x_1$  стенки микроканалов теплоизолированы, при  $0 < x < x_1$  на стенки канала посту-

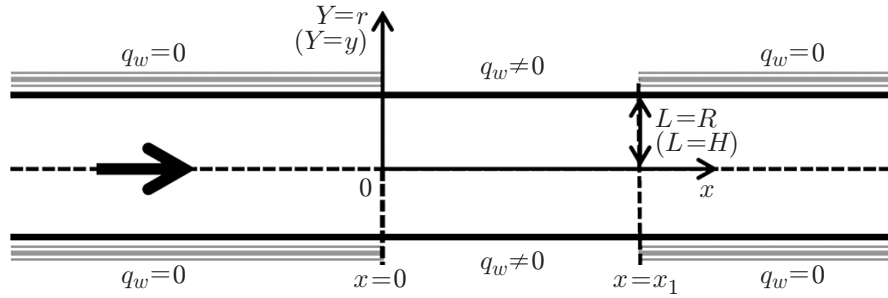


Рис. 1. Геометрия канала при наличии в нем развитого скользящего потока и система координат

пает поток тепла  $q_w$  (см. рис. 1). Таким образом, плотность потока тепла определяется соотношениями

$$q_w^* = \begin{cases} q_w, & 0 < x < x_1, \\ 0, & x \leq 0, \quad x \geq x_1. \end{cases}$$

Предполагается, что поток поступает в канал с постоянной температурой  $T_0$  при  $x = -\infty$ . Свойства жидкости (плотность  $\rho$ , динамическая вязкость  $\mu$ , теплопроводность  $k$  и удельная теплоемкость  $C_p$ ) полагаются постоянными. Число Кнудсена потока находится в диапазоне  $10^{-3} \leq \text{Kn} \leq 10^{-1}$ . На стенках канала задается скорость скольжения жидкости и учитывается скачок температуры. В модели скольжения первого порядка эти условия имеют вид [1]

$$u_{x,s} = -\beta_v \lambda \left. \frac{\partial u_x}{\partial Y} \right|_{Y=L}; \quad (1)$$

$$T_s = T_w - \beta_t \lambda \left. \frac{\partial T}{\partial Y} \right|_{Y=L}, \quad (2)$$

где  $u_{x,s}$  — скорость скольжения;  $T_s, T_w$  — температура жидкости и стенок соответственно;  $\lambda$  — длина свободного пробега молекулы;  $\beta_v = (2 - F_v)/F_v$ ;  $\beta_t = (2 - F_t)/F_t(2\gamma/\text{Pr}(\gamma + 1))$ ;  $F_v, F_t$  — тангенциальный импульс и коэффициент тепловой аккомодации;  $\text{Pr}$  — число Прандтля;  $\gamma$  — отношение удельных теплоемкостей  $C_p/C_v$ .

При указанных выше предположениях безразмерное уравнение энергии с учетом проводимости в направлении потока и с учетом симметрии задачи относительно оси течения записывается в следующем виде:

$$u(\eta) \frac{\partial \Theta}{\partial \xi} = \frac{1}{\eta^p} \frac{\partial}{\partial \eta} \left( \eta^p \frac{\partial \Theta}{\partial \eta} \right) + \frac{1}{\text{Pe}_L^2} \frac{\partial^2 \Theta}{\partial \xi^2} \quad \text{при } 0 < \eta < 1 \quad \forall \xi. \quad (3)$$

Здесь  $p = 0$  в случае течения в плоском канале и  $p = 1$  в случае течения в микротрубке,

$$\eta = \frac{Y}{L}, \quad \xi = \frac{x}{L} \frac{1}{\text{Pe}_L}, \quad u(\eta) = \frac{u_x}{U_m}, \quad \Theta = \frac{T - T_0}{Lq_w/k}, \quad \text{Pe}_L = \frac{\rho C_p U_m L}{k},$$

$\text{Pe}_L$  — число Пекле;  $U_m$  — средняя скорость. Профиль скорости развитого ламинарного потока со скольжением  $u(\eta)$ , удовлетворяющий условию скольжения в (1), можно определить из уравнения импульса

$$u(\eta) = u_s + (p + 3)(1 - u_s)(1 - \eta^2)/2,$$

где  $u_s = u_x(L)/U_m$  — безразмерная скорость скольжения ( $u_s = u(1) = \beta_v \text{Kn}(p + 3)/[2^{p-2} + \beta_v \text{Kn}(p + 3)]$ );  $\text{Kn} = \lambda/D_h$  — число Кнудсена;  $D_h = 2^{2-p}L$  — гидравлический диаметр канала.

Для уравнения (3) ставятся краевые условия

$$\frac{\partial \Theta}{\partial \eta} = 0 \quad \text{при } \eta = 1, \quad \xi \leq 0, \quad \xi \geq \xi_1; \quad (4)$$

$$\frac{\partial \Theta}{\partial \eta} = 1 \quad \text{при } \eta = 1, \quad 0 < \xi < \xi_1; \quad (5)$$

$$\frac{\partial \Theta}{\partial \eta} = 0 \quad \text{при } \eta = 0 \quad \forall \xi; \quad (6)$$

$$\lim_{\xi \rightarrow -\infty} \Theta = 0. \quad (7)$$

**2. Аналитическое решение.** Как отмечено выше, одним из методов, которые могут быть использованы для решения системы уравнений (3)–(7), является метод функционального анализа, ранее использовавшийся при решении задачи о течении сплошной среды. В данной работе этот метод распространен на случай скользящего потока и найдено аналитическое решение уравнения (3) с краевыми условиями (4)–(7). Более детальное описание метода приведено в работах [3, 5, 6, 11]. Ниже изложена основная идея метода. Вводя безразмерную энергию потока в осевом направлении через поперечное сечение высотой  $\eta$ :

$$\varphi(\xi, \eta) = \int_0^\eta \left( u(\eta') \Theta - \frac{1}{\text{Pe}_L^2} \frac{\partial \Theta}{\partial \xi} \right) \eta'^p d\eta', \quad (8)$$

получаем следующую систему:

$$\begin{aligned} \frac{\partial \Theta}{\partial \xi} &= \text{Pe}_L^2 u(\eta) \Theta - \frac{\text{Pe}_L^2}{\eta^p} \frac{\partial \varphi}{\partial \eta}; \\ \frac{\partial \varphi}{\partial \xi} &= \eta^p \frac{\partial \Theta}{\partial \eta}. \end{aligned} \quad (9)$$

С использованием определения (8) функции  $\varphi(\xi, \eta)$ , уравнения (7) и с учетом краевых условий (4), (5) в уравнении (9) находим эквивалентные краевые условия для функции  $\varphi$ :

$$\varphi(\xi, 0) = 0, \quad \lim_{\xi \rightarrow -\infty} \varphi(\xi, \eta) = 0, \quad \varphi(\xi, 1) = \begin{cases} 0, & \xi \leq 0, \\ \xi, & 0 < \xi < \xi_1, \\ \xi_1, & \xi \geq \xi_1. \end{cases}$$

С помощью метода функционального анализа [3, 5, 6, 11] покажем, что в случае сформировавшегося профиля скорости  $u(\eta)$  можно получить представление для температурного поля в виде бесконечного ряда по собственным функциям  $\phi_{n1}^+$  и  $\phi_{n1}^-$ :

$$\Theta(\xi, \eta) = \sum_{n=1}^{\infty} A_n e^{\lambda_n^2 \xi} (1 - e^{-\lambda_n^2 \xi_1}) \phi_{n1}^+(\eta), \quad \xi \leq 0,$$

$$\Theta(\xi, \eta) = Q(\eta) + (p+1)\xi - \sum_{n=1}^{\infty} A_n e^{\lambda_n^2(\xi-\xi_1)} \phi_{n1}^+(\eta) + \sum_{n=1}^{\infty} B_n e^{-\beta_n^2 \xi} \phi_{n1}^-(\eta), \quad 0 < \xi < \xi_1,$$

$$\Theta(\xi, \eta) = (p+1)\xi_1 + \sum_{n=1}^{\infty} B_n e^{-\beta_n^2 \xi} (1 - e^{\beta_n^2 \xi_1}) \phi_{n1}^-(\eta), \quad \xi \geq \xi_1.$$

Здесь

$$Q(\eta) = \frac{p+1}{\text{Pe}_L^2} + \int_0^\eta \frac{1}{\eta'^p} \int_0^{\eta'} \eta''^p u(\eta'') d\eta'' d\eta' - (p+1) \int_0^1 u(\eta) \eta^p \left( \int_0^\eta \frac{1}{\eta'^p} \int_0^{\eta'} \eta''^p u(\eta'') d\eta'' d\eta' \right) d\eta,$$

для коэффициентов разложения  $A_n, B_n$  можно записать явные формулы

$$A_n = -2 \left[ \lambda_n^3 \frac{d}{d\lambda_n} \left( \frac{(\phi_{n1}^+)'(1)}{\lambda_n^2} \right) \right]^{-1}, \quad B_n = 2 \left[ \beta_n^3 \frac{d}{d\beta_n} \left( \frac{(\phi_{n1}^-)'(1)}{\beta_n^2} \right) \right]^{-1},$$

$\lambda_n, \beta_n$  — вещественные части собственных значений, соответствующих собственным функциям  $\phi_{n1}^+$  и  $\phi_{n1}^-$ .

Собственные функции  $\phi_{n1}^+, \phi_{n1}^-$  являются решениями дифференциальных уравнений

$$\frac{d}{d\eta} \left( \eta^p \frac{d\phi_{n1}^\pm}{d\eta} \right) + \eta^p \mu_n^\pm \left( \frac{\mu_n^\pm}{\text{Pe}_L^2} - u(\eta) \right) \phi_{n1}^\pm(\eta) = 0 \quad (10)$$

с краевыми условиями

$$(\phi_{n1}^\pm)'(0) = 0, \quad (\phi_{n1}^\pm)'(1) = 0. \quad (11)$$

Явные выражения для функций  $\phi_{n1}^+, \phi_{n1}^-$  приведены в [11]. Если температурное поле известно, то можно вычислить две величины, имеющие важное практическое значение: среднюю температуру

$$T_b = \int_0^L T u_x Y^p dY / \int_0^L u_x Y^p dY, \quad \Theta_b = \int_0^1 \Theta u \eta^p d\eta / \int_0^1 u \eta^p d\eta$$

и локальное число Нуссельта

$$\text{Nu} = \frac{q_w^*}{k(T_w - T_b)/D_h} = 2^{2-p} \frac{q_w^*}{q_w(\Theta_w - \Theta_b)} = \begin{cases} 2^{2-p}/(\Theta_w - \Theta_b), & 0 < \xi < \xi_1, \\ 0, & \xi \leq 0, \quad \xi \geq \xi_1. \end{cases} \quad (12)$$

Зная температурное поле в потоке, с использованием уравнения (2) можно получить следующие выражения для массовой температуры и температуры стенки в каждом сечении микроканала:

—  $\xi \leq 0$ :

$$\Theta_b = (p+1) \sum_{n=1}^{\infty} A_n e^{\lambda_n^2 \xi} (1 - e^{-\lambda_n^2 \xi_1}) \frac{\lambda_n^2}{\text{Pe}_L^2} \int_0^1 \eta^p \phi_{n1}^+ d\eta,$$

$$\Theta_w = \sum_{n=1}^{\infty} A_n e^{\lambda_n^2 \xi} (1 - e^{-\lambda_n^2 \xi_1}) \phi_{n1}^+(1);$$

—  $0 < \xi < \xi_1$ :

$$\Theta_b = (p+1) \int_0^1 Q(\eta) u(\eta) \eta^p d\eta + (p+1)\xi - (p+1) \sum_{n=1}^{\infty} A_n e^{\lambda_n^2(\xi - \xi_1)} \frac{\lambda_n^2}{\text{Pe}_L^2} \int_0^1 \eta^p \phi_{n1}^+ d\eta -$$

$$- (p+1) \sum_{n=1}^{\infty} B_n e^{-\beta_n^2 \xi} \frac{\beta_n^2}{\text{Pe}_L^2} \int_0^1 \eta^p \phi_{n1}^- d\eta,$$

$$\Theta_w = Q(1) + (p+1)\xi - \sum_{n=1}^{\infty} A_n e^{\lambda_n^2(\xi-\xi_1)} \phi_{n1}^+(1) + \sum_{n=1}^{\infty} B_n e^{-\beta_n^2 \xi} \phi_{n1}^-(1) + 2^{2-p} \beta_t \text{Kn};$$

—  $\xi \geq \xi_1$ :

$$\Theta_b = (p+1)\xi_1 - (p+1) \sum_{n=1}^{\infty} B_n e^{-\beta_n^2 \xi} (1 - e^{\beta_n^2 \xi_1}) \frac{\beta_n^2}{\text{Pe}_L^2} \int_0^1 \eta^p \phi_{n1}^- d\eta,$$

$$\Theta_w = (p+1)\xi_1 + \sum_{n=1}^{\infty} B_n e^{-\beta_n^2 \xi} (1 - e^{\beta_n^2 \xi_1}) \phi_{n1}^-(1).$$

При  $\xi \leq 0$  и  $\xi \geq \xi_1$  число Нуссельта равно нулю, поскольку на этих участках отсутствует поток тепла. При  $0 < \xi < \xi_1$  для числа Нуссельта получаем выражение

$$\begin{aligned} \text{Nu} = 2^{2-p} \left\{ Q(1) + 2^{2-p} \beta_t \text{Kn} - (p+1) \int_0^1 Q(\eta) u(\eta) \eta^p d\eta + \right. \\ \left. + \sum_{n=1}^{\infty} A_n e^{\lambda_n^2(\xi-\xi_1)} \left[ (p+1) \frac{\lambda_n^2}{\text{Pe}_L^2} \int_0^1 \eta^p \phi_{n1}^+ d\eta - \phi_{n1}^+(1) \right] + \right. \\ \left. + \sum_{n=1}^{\infty} B_n e^{-\beta_n^2 \xi} \left[ (p+1) \frac{\beta_n^2}{\text{Pe}_L^2} \int_0^1 \eta^p \phi_{n1}^- d\eta + \phi_{n1}^-(1) \right] \right\}^{-1}. \end{aligned}$$

В частности, при  $\xi_1 \rightarrow +\infty$  для асимптотического значения числа Нуссельта, представляющего собой число Нуссельта в области установившегося температурного поля ( $\xi \rightarrow +\infty$ ), имеем выражение

$$\text{Nu}_{as} = 2^{2-p} / \left( Q(1) + 2^{2-p} \beta_t \text{Kn} - (p+1) \int_0^1 Q(\eta) u(\eta) \eta^p d\eta \right),$$

зависящее от  $\text{Kn}$ ,  $\beta_v$ ,  $\beta_t$ .

**3. Результаты исследования и их обсуждение.** Ниже описываются алгоритм численного решения и результаты решения задачи.

3.1. *Алгоритм вычисления: точность и апробация.* В данной работе собственные значения и собственные функции вычисляются с использованием двух методов: во-первых, дифференциальное уравнение (10) с краевыми условиями (11) решается численным методом с помощью программы, реализованной на языке FORTRAN, во-вторых, с целью проверки точности численного метода проводится сравнение численного решения с аналитическим решением, полученным с использованием явных выражений для собственных функций  $\phi_{n1}^+$ ,  $\phi_{n1}^-$  и пакета MAPLE. Более подробно используемый численный метод изложен в работах [10, 11]. Разности между собственными значениями и соответствующими коэффициентами разложений, вычисленными двумя методами, не превышали  $10^{-7}$  и  $10^{-6}$  соответственно.

В случае полубесконечных ( $\xi_1 \rightarrow +\infty$ ) микротрубок и плоскопараллельных каналов асимптотические значения числа Нуссельта (при  $\xi \rightarrow +\infty$ ) не зависят от числа Пекле, что используется при проверке численного решения путем сравнения зависимостей числа Нуссельта  $\text{Nu}_{as}$  от числа Кнудсена  $\text{Kn}$ , полученных в данной работе и в работе [12], в которой не учитывалась проводимость в направлении движения потока. Эти зависимости

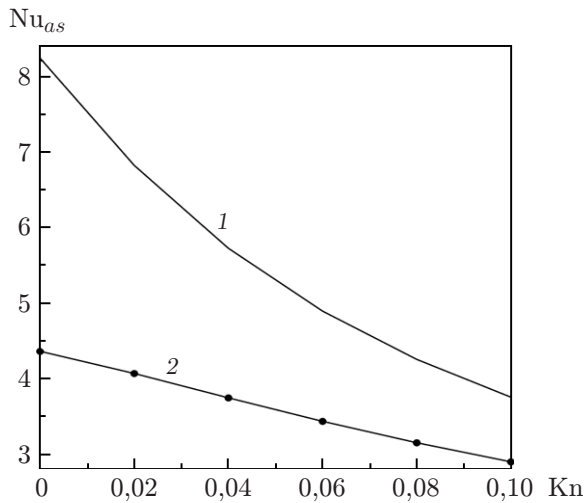


Рис. 2

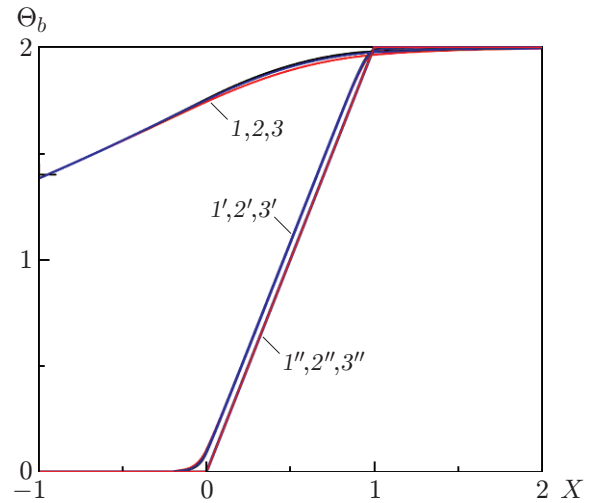


Рис. 3

Рис. 2. Зависимость асимптотического числа Нуссельта  $Nu_{as}$  от числа Кнудсена в скользящем потоке:

линии — данные настоящей работы (1 — для микроканала с параллельными стенками ( $p = 0$ ), 2 — для микротрубки ( $p = 1$ )), точки — данные [12] для микротрубки ( $p = 1$ )

Рис. 3. Зависимость среднемассовой температуры  $\Theta_b$  от координаты  $X$  в микротрубке в области нагрева конечной длины  $\xi_1 = 1$  при  $p = 1$  и различных значениях чисел Пекле и Кнудсена:

1-3 —  $Pe_{D_h} = 1$ , 1'-3' —  $Pe_{D_h} = 10$ , 1''-3'' —  $Pe_{D_h} = \infty$  (параболическая задача);  
1, 1', 1'' —  $Kn = 0$ , 2, 2', 2'' —  $Kn = 0,06$ , 3, 3', 3'' —  $Kn = 0,10$

приведены на рис. 2 при значении  $\beta_t = 1,667$ , имеющем место для воздуха при  $\gamma = 1,4$ ,  $Pr = 0,7$ . Видно, что зависимости, полученные двумя указанными выше методами, хорошо согласуются. Из рис. 2 следует, что в случае скользящего потока число Нуссельта  $Nu_{as}$  уменьшается при увеличении числа Кнудсена. Случай течения при  $Kn = 0$  соответствует классическому течению сплошной среды, в котором отсутствуют скорость скольжения и условие на скачок температуры. В случае классического течения в трубке с круглым сечением  $Nu_{as} = 4,3636$ , в случае течения в плоском канале  $Nu_{as} = 8,2353$ . Значения  $Nu_{as}$ , полученные в данной работе при  $Kn = 0$ , близки к указанным выше значениям (см. рис. 2).

3.2. *Теплоперенос в микротрубке: влияние чисел Пекле и Кнудсена.* Зависимости среднемассовой температуры  $\Theta_b$  от числа Пекле  $Pe_{D_h} = 2^{2-p}Pe_L$  ( $Pe_{D_h}$  — число Пекле, определенное с использованием гидравлического диаметра канала) и числа Кнудсена  $Kn$  в случае, когда нагрев осуществляется на участке конечной длины ( $\xi_1 = 1$ ), представлены на рис. 3. Среднемассовая температура  $\Theta_b$  увеличивается вниз по потоку до тех пор, пока не будет достигнуто ее асимптотическое максимальное значение в сечении  $X = \xi/\xi_1 \geq 1$ . Это значение не зависит от значений  $Pe_{D_h}$  и  $Kn$ . На рис. 3 видно, что при большом значении  $Pe_{D_h}$  ( $Pe_{D_h} = 10$ ) и при любом фиксированном значении числа Кнудсена влияние теплопроводности в осевом направлении очень мало и температура  $\Theta_b$  в расположенной выше по потоку изолированной области уменьшается в результате охлаждения вследствие конвекции. Поэтому вблизи сечения  $X = 0$  температура приближенно равна нулю. В частности, в случае параболической задачи этот эффект отсутствует, среднемассовая температура в сечении  $X = 0$  равна нулю. При  $Pe_{D_h} \approx 1$  проводимость в направлении движения потока становится существенной. Наличие такой проводимости приводит к увеличению

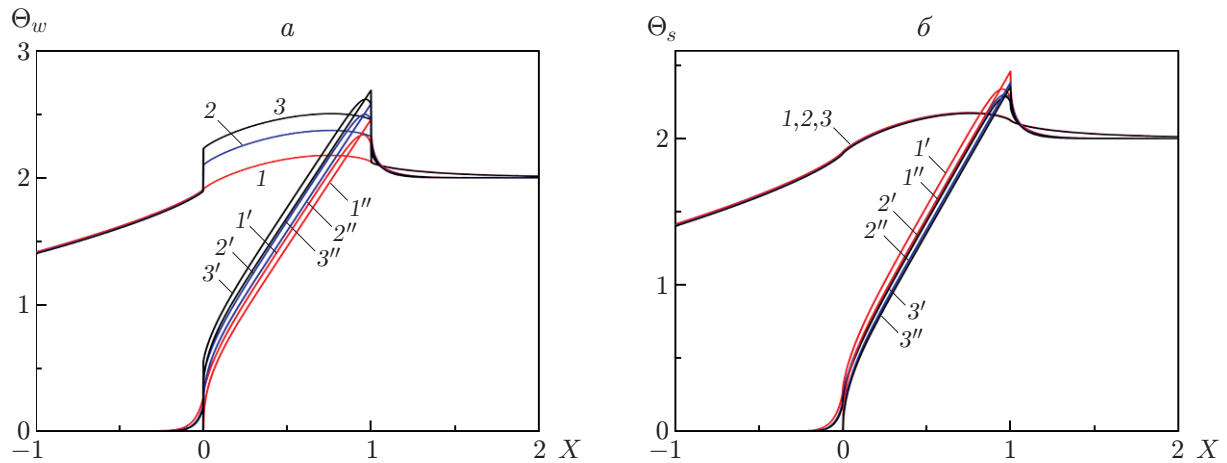


Рис. 4. Зависимости температуры стенок микротрубки  $\Theta_w$  (а) и температуры потока на стенках микротрубки  $\Theta_s$  (б) от координаты  $X$  при  $\xi_1 = 1$ ,  $p = 1$  и различных значениях чисел Кнудсена и Пекле:

1-3 —  $Pe_{D_h} = 1$ , 1'-3' —  $Pe_{D_h} = 10$ , 1''-3'' —  $Pe_{D_h} = \infty$  (параболическая задача);  
1, 1', 1'' —  $Kn = 0$ , 2, 2', 2'' —  $Kn = 0,06$ , 3, 3', 3'' —  $Kn = 0,10$

среднемассовой температуры  $\Theta_b$  в области нагрева и в теплоизолированной области вверх по потоку. Это происходит вследствие того, что часть тепла, поступающего от стенок, переносится вверх по потоку вследствие наличия теплопроводности в направлении движения потока. Из зависимостей, приведенных на рис. 3, следует, что при любом фиксированном значении  $Pe_{D_h}$  разрежение газа не оказывает существенного влияния на среднемассовую температуру.

На рис. 4, а приведена зависимость температуры стенок микротрубки  $\Theta_w$  от координаты  $X$  при  $\xi_1 = 1$ ,  $p = 1$  и различных значениях  $Pe_{D_h}$  и  $Kn$ . Видно, что при фиксированном значении  $Pe_{D_h}$  в областях микротрубки с теплоизолированными стенками, расположенными выше по потоку ( $X \leq 0$ ) и ниже по потоку ( $X \geq 1$ ) относительно нагреваемой области, степень разрежения оказывает несущественное влияние на температуру стенок, в то время как в области нагрева температура стенок  $\Theta_w$  существенно зависит от степени разрежения потока. Эти результаты можно получить из выражения (2), записанного для безразмерной температуры  $\Theta_w$ :  $\Theta_w = \Theta_s + \Theta_j$  ( $\Theta_s$ ,  $\Theta_j$  — безразмерные температура жидкости на стенках и скачок температуры соответственно). Действительно, из зависимостей, приведенных на рис. 4, б, следует, что температура потока на стенках  $\Theta(\xi, 1) = \Theta_s$  уменьшается с увеличением числа Кнудсена  $Kn$  вследствие увеличения скорости скольжения на стенках и соответственно уменьшения степени нагрева частиц вблизи стенок. Скачок температуры  $\Theta_j = 2\beta_t Kn$  в области нагрева ( $0 < X < 1$ ) увеличивается с увеличением  $Kn$ . В теплоизолированных областях, расположенных выше по потоку ( $X \leq 0$ ) и ниже по потоку ( $X \geq 1$ ) относительно области нагрева, скачок температуры  $\Theta_j$  равен нулю, поскольку  $\partial\Theta/\partial\eta = 0$  при  $\eta = 1$ . Поэтому в области нагрева ( $0 < X < 1$ ) увеличение числа Кнудсена  $Kn$  приводит к увеличению скачка температуры  $\Theta_j$ , более существенному по сравнению с уменьшением температуры  $\Theta_s$ , в результате чего температура стенок  $\Theta_w$  увеличивается.

Исследуем влияние чисел Кнудсена и Пекле на локальное число Нуссельта в микротрубке с областью нагрева конечной длины при  $\xi_1 = 1$ .

Из зависимостей, приведенных на рис. 5, следует, что при  $Pe_{D_h} = 10$  распределение числа Нуссельта в области нагрева, за исключением областей, находящихся вблизи вход-



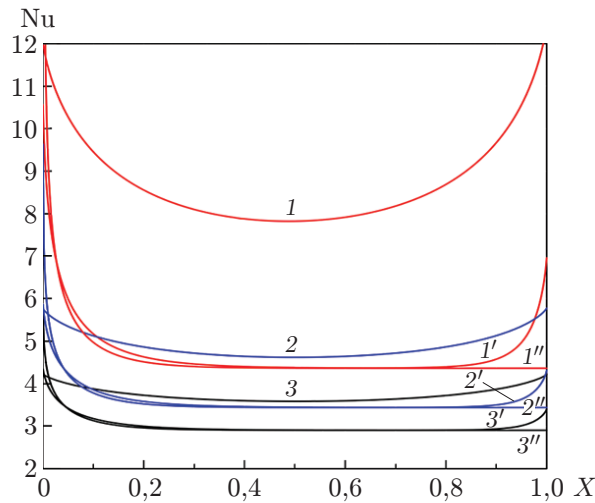


Рис. 5. Зависимость локального числа Нуссельта  $Nu$  от координаты  $X$  при  $\xi_1 = 1$ ,  $p = 1$  и различных значениях чисел Пекле и Кнудсена:  
 $1-3$  —  $Re_{D_h} = 1$ ,  $1'-3'$  —  $Re_{D_h} = 10$ ,  $1''-3''$  —  $Re_{D_h} = \infty$  (параболическая задача);  
 $1, 1', 1''$  —  $Kn = 0$ ,  $2, 2', 2''$  —  $Kn = 0,06$ ,  $3, 3', 3''$  —  $Kn = 0,10$

ного и выходного сечений, близко к распределению, полученному при решении параболической задачи. Это означает, что даже при больших значениях  $Re_{D_h}$  нельзя пренебрегать проводимостью в осевом направлении вблизи разрывов в краевых условиях.

Локальное число Нуссельта  $Nu$ , которое согласно (12) обратно пропорционально разности температуры стенок и среднemasсовой температуры потока, вблизи сечения, через которое поток входит в область нагрева, уменьшается, что обусловлено нагревом стенок, затем оно практически не меняется с изменением координаты  $X$ , а вблизи сечения, через которое поток выходит из области нагрева, увеличивается. При уменьшении значения  $Re_{D_h}$  до единицы отмеченные выше закономерности распределения числа Нуссельта становятся более выраженными вследствие наличия теплопроводности в осевом направлении. При этом распределение локального числа Нуссельта становится параболическим и симметричным относительно сечения  $X \approx 0,5$ . В этом сечении вследствие одинакового влияния конвекции и теплопроводности локальное число Нуссельта принимает минимальное значение. При любых значениях  $Kn$  локальное число Нуссельта в фиксированной точке увеличивается при уменьшении  $Re_{D_h}$ , но не достигает значения, соответствующего развитому течению в области нагрева. Такое поведение числа Нуссельта отмечалось в случае наличия теплопереноса в макротрубках ( $Kn = 0$ ) [6]. Из зависимостей, приведенных на рис. 5, следует, что при фиксированном  $Re_{D_h}$  локальное число Нуссельта зависит от  $Kn$ . С увеличением  $Kn$  локальное число Нуссельта в области нагрева уменьшается, что обусловлено увеличением разности  $\Theta_w - \Theta_b$ , так как с увеличением  $Kn$  температура  $\Theta_w$  увеличивается (см. рис. 4, а), а температура  $\Theta_b$  практически не меняется. Таким образом, с учетом определения  $Nu = 2/(\Theta_w - \Theta_b)$  при увеличении числа Кнудсена  $Kn$  количество переносимого тепла уменьшается вследствие скачка температуры.

3.3. *Перенос тепла в микроканале с параллельными стенками: влияние конечной длины области нагрева.* На рис. 6, 7 соответственно приведены зависимости температуры  $\Theta_b$  и числа Нуссельта  $Nu$  от координаты  $X$  при различных значениях  $Re_{D_h}$  и конечной длины области нагрева  $\xi_1$ . При  $Re_{D_h} = 1$  увеличение  $\Theta_b$  с увеличением  $\xi_1$  приводит к появлению проводимости, существенно зависящей от величины  $\xi_1$ . Асимптотическое значение температуры  $\Theta_b$  в расположенной вниз по потоку теплоизолированной области ( $X \geq 1$ ), также

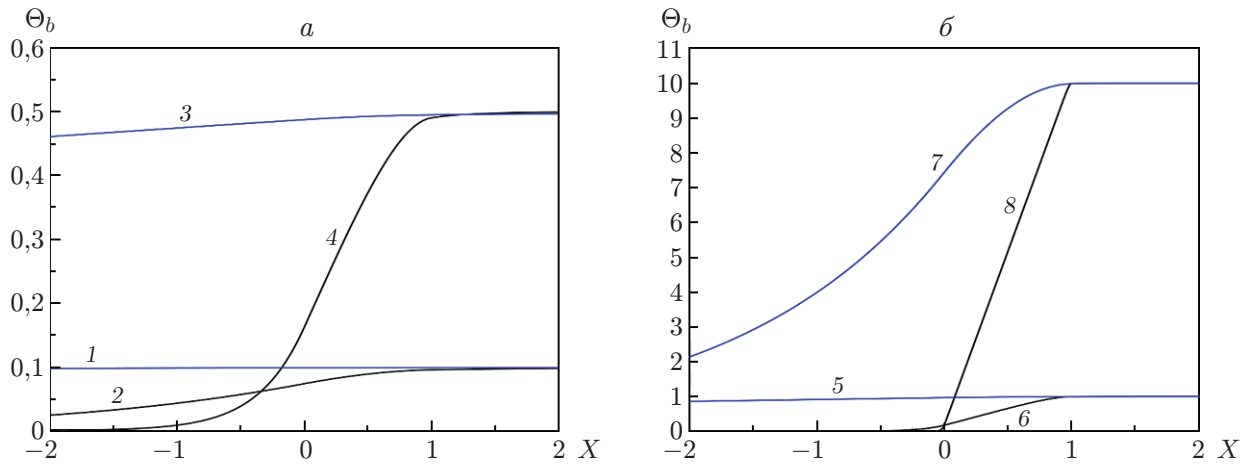


Рис. 6. Зависимость температуры  $\Theta_b$  в микроканале от координаты  $X$  при  $p = 0$ ,  $\text{Kn} = 0,1$  и различных значениях  $\text{Re}_{D_h}$  и конечной длины области нагрева  $\xi_1$ :  $a$  — 1, 2 —  $\xi_1 = 0,1$ , 3, 4 —  $\xi_1 = 0,5$ ;  $b$  — 5, 6 —  $\xi_1 = 1$ , 7, 8 —  $\xi_1 = 10$ ; 1, 3, 5, 7 —  $\text{Re}_{D_h} = 1$ , 2, 4, 6, 8 —  $\text{Re}_{D_h} = 10$

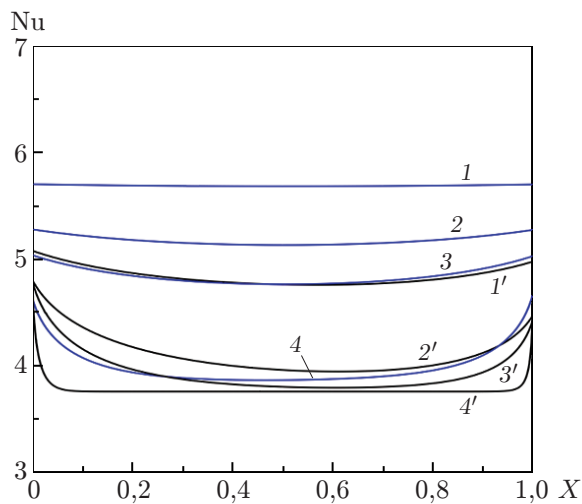


Рис. 7. Зависимость числа Нуссельта  $\text{Nu}$  в микроканале от координаты  $X$  при  $p = 0$ ,  $\text{Kn} = 0,1$  и различных значениях  $\text{Re}_{D_h}$  и конечной длины области нагрева  $\xi_1$ : 1–4 —  $\text{Re}_{D_h} = 1$ , 1'–4' —  $\text{Re}_{D_h} = 10$ ; 1, 1' —  $\xi_1 = 0,1$ , 2, 2' —  $\xi_1 = 0,5$ , 3, 3' —  $\xi_1 = 1$ , 4, 4' —  $\xi_1 = 10$

существенно зависит от величины  $\xi_1$ . В расположенной вверх по потоку теплоизолированной области  $X \leq 0$  температура  $\Theta_b$  увеличивается с уменьшением  $\xi_1$ . В этом случае влияние проводимости в осевом направлении существенно при малых значениях  $\xi_1$ .

С уменьшением величины  $\xi_1$  локальное число Нуссельта  $\text{Nu}$  увеличивается (см. рис. 7). Следовательно, проводимость в осевом направлении существенна даже при больших значениях  $\text{Re}_{D_h}$  и увеличивается при уменьшении длины области нагрева. Такие же результаты были получены при решении задачи о переносе тепла в скользящем потоке при условиях Дирихле на стенках канала [10].

**Заключение.** С использованием метода функционального анализа проведено аналитическое исследование обобщенной задачи Гретца о скользящем потоке газа в микротрубке и плоском микроканале с параллельными стенками. Получены следующие основные результаты.

Теплопроводность в осевом направлении (в направлении движения потока) становится существенной при малых числах Пекле  $\text{Re}_{D_h}$ .

В случае если длина области нагрева конечна, даже при больших значениях числа Пекле влияние теплопроводности в направлении движения потока существенно, при уменьшении длины области нагрева перенос тепла становится более интенсивным. При малых числах Пекле  $Re_{D_h}$  увеличение среднemasсовой температуры с увеличением параметра  $\xi_1$  приводит к существенному увеличению влияния теплопроводности на распределение температуры в теплоизолированной области, расположенной вверх по потоку.

В скользящем потоке при фиксированном значении числа Пекле  $Re_{D_h}$  с увеличением числа Кнудсена интенсивность переноса тепла уменьшается. По-видимому, при любом значении числа Пекле  $Re_{D_h}$  среднemasсовая температура не зависит от степени разрежения. Таким образом, интенсивность переноса тепла зависит от температуры на стенках канала, которая в свою очередь зависит от скачка температуры на стенках в области нагрева.

## ЛИТЕРАТУРА

1. **Karniadakis G.** Microflows and nanoflows: Fundamentals and simulation / G. Karniadakis, A. Beskok, N. Aluru. N. Y.: Springer, 2005. P. 60, 400.
2. **Ha J. M., Peterson G. P.** The heat transport capacity of micro heat pipe // J. Heat Transfer. 1998. V. 120. P. 1064–1071.
3. **Weigand B.** Analytical methods for heat transfer and fluid flow problems. Berlin; Heidelberg: Springer, 2015. P. 149.
4. **Papoutsakis E., Ramkrishna D., Lim H. C.** The extended Graetz problem with Dirichlet wall boundary conditions // Appl. Sci. Res. 1980. V. 36. P. 13–34.
5. **Papoutsakis E., Ramkrishna D., Lim H. C.** The extended Graetz problem with prescribed wall flux // AIChE J. 1980. V. 26. P. 779–787.
6. **Weigand B., Kanzamar M., Beer H.** The extended Graetz problem with piecewise constant wall heat flux for pipe and channel flows // Intern. J. Heat Mass Transfer. 2001. V. 44. P. 3941–3952.
7. **Weigand B., Lauffer D.** The extended Graetz problem with piecewise constant wall temperature for pipe and channel flows // Intern. J. Heat Mass Transfer. 2004. V. 47. P. 5303–5312.
8. **Lahjomri J., Zniber K., Oubarra A., Alemany A.** Heat transfer by Hartmann flow in thermal entrance region with uniform heat flux: The Graetz problem extended // Energy Convers. Manage. 2003. V. 44. P. 11–34.
9. **Colin S.** Gas microflows in the slip flow regime: A critical review on convective heat transfer // Trans. ASME. J. Heat Transfer. 2012. V. 134. 020908.
10. **Haddout Y., Lahjomri J.** The extended Graetz problem for a gaseous slip flow in micropipe and parallel-plate microchannel with heating section of finite length: Effects of axial conduction, viscous dissipation and pressure work // Intern. J. Heat Mass Transfer. 2015. V. 80. P. 673–687.
11. **Haddout Y., Essaghir E., Oubarra A., Lahjomri J.** Convective heat transfer for a gaseous slip flow in micropipe and parallel-plate microchannel with uniform wall heat flux: effect of axial heat conduction // Indian J. Phys. 2018. V. 92. P. 741–755.
12. **Aydin O., Avci O.** Analysis of laminar heat transfer in micro poiseuille flow // Intern. J. Thermal Sci. 2007. V. 46. P. 30–37.

*Поступила в редакцию 25/VI 2019 г.,  
после доработки — 30/III 2020 г.  
Принята к публикации 25/V 2020 г.*